

図4 D社ポリソルベート-20のIRスペクトル

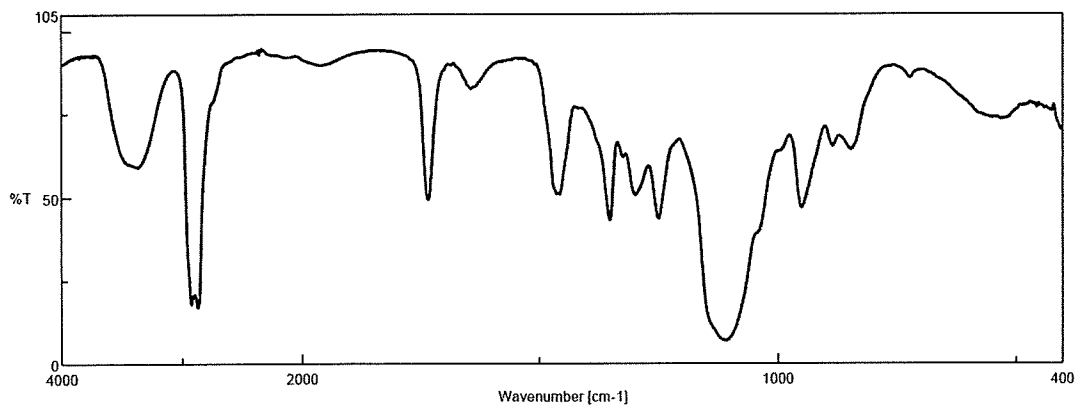


図5 E社ポリソルベート-20のIRスペクトル

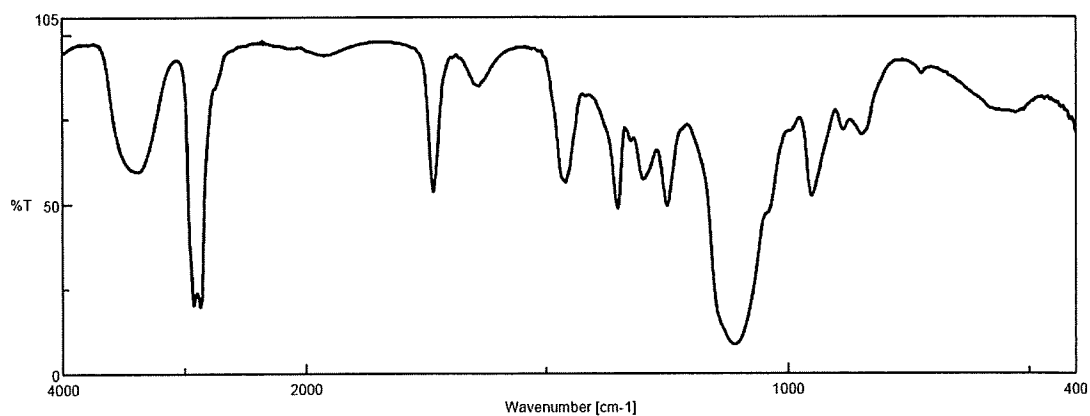


図6 F社ポリソルベート-20のIRスペクトル

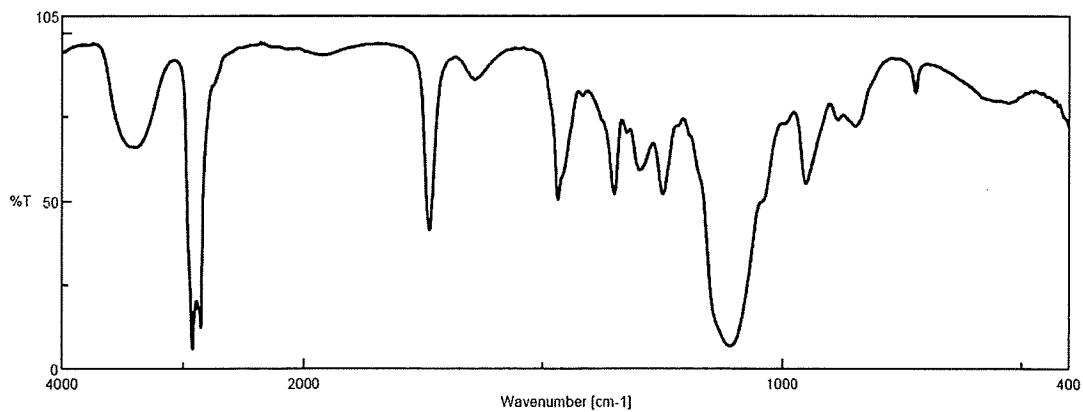


図 7 A 社ポリソルベート-60 の IR スペクトル

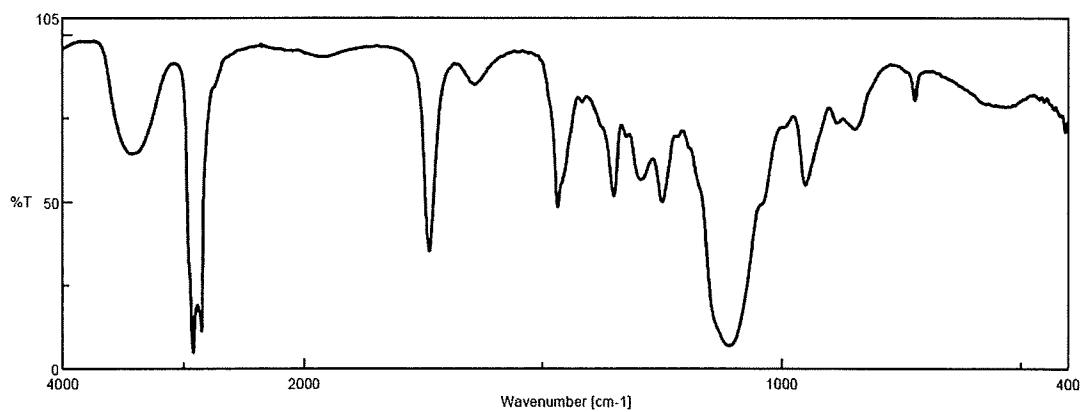


図 8 B 社ポリソルベート-60 の IR スペクトル

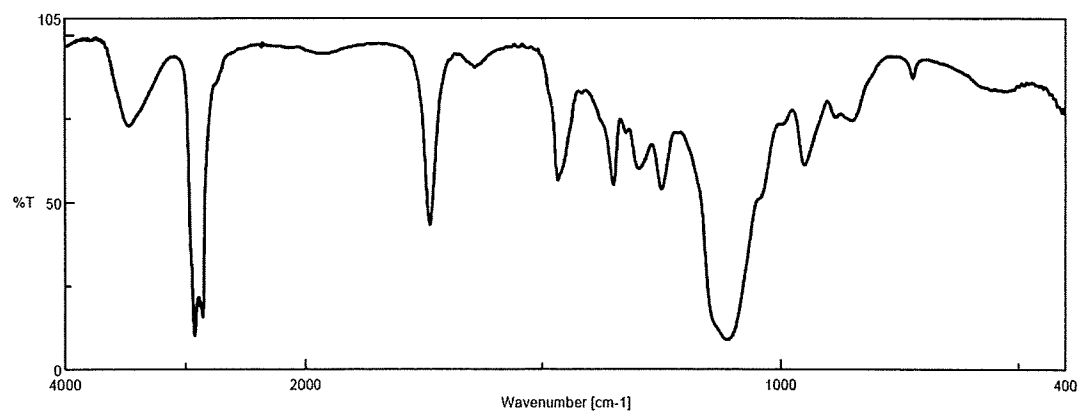


図 9 C 社ポリソルベート-60 の IR スペクトル

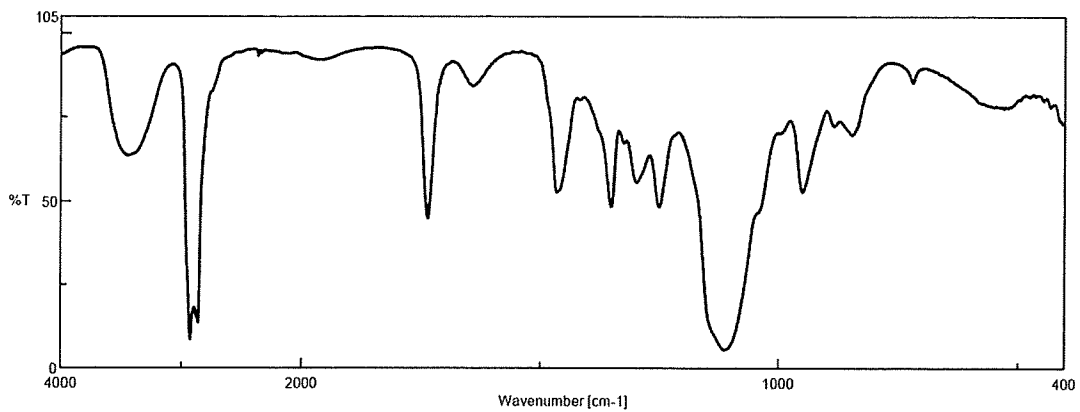


図 10 D社ポリソルベート-60のIRスペクトル

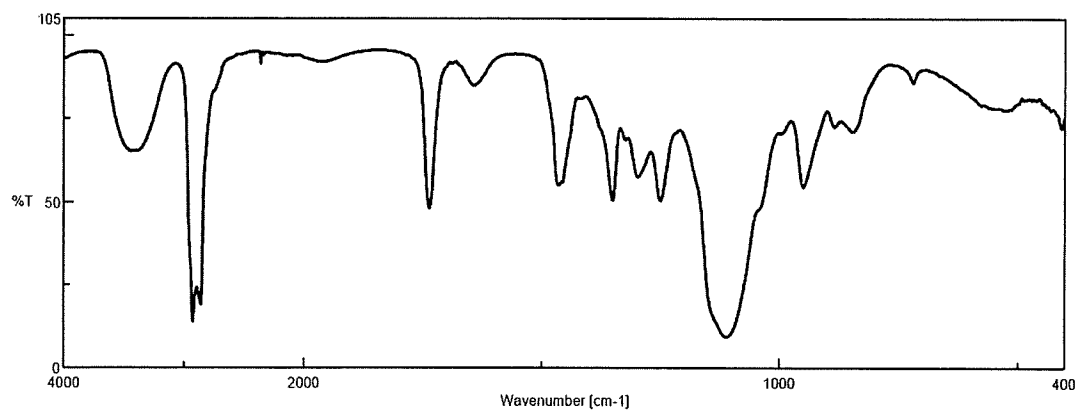


図 11 E社ポリソルベート-60のIRスペクトル

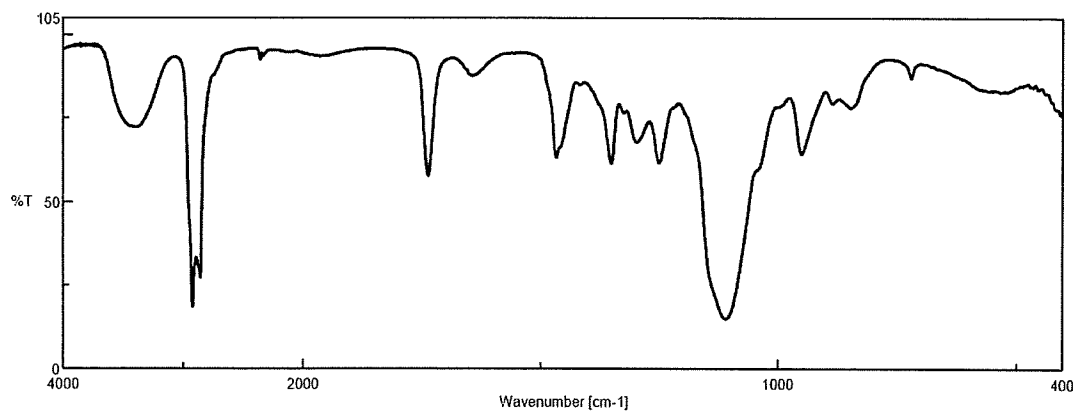


図 12 Wako社ポリソルベート-60のIRスペクトル

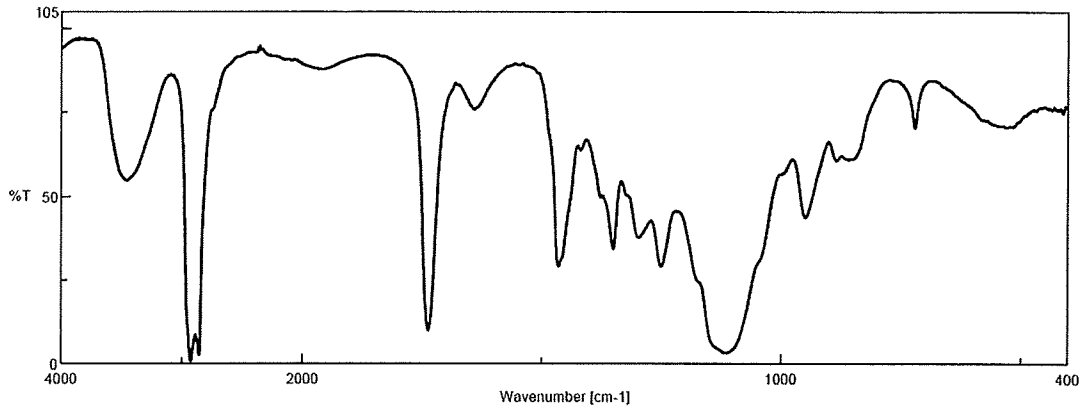


図 13 ポリソルベート-65 (液膜法) の IR スペクトル

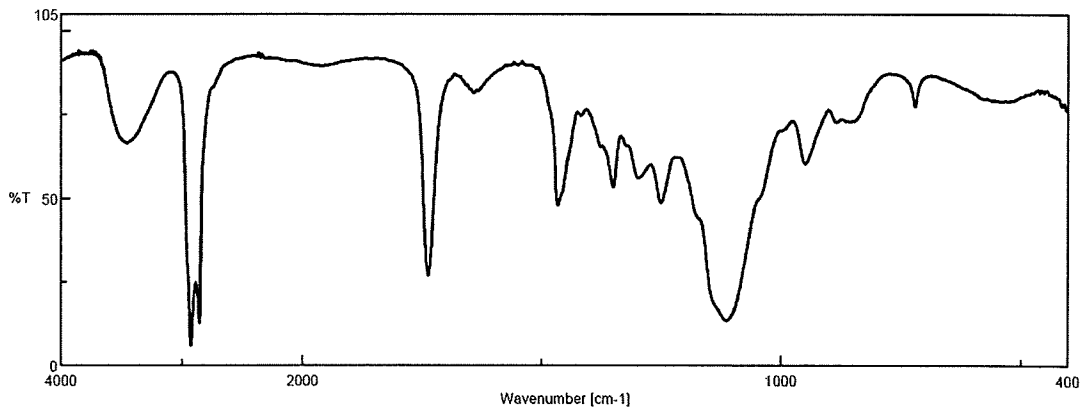


図 14 ポリソルベート-65 (薄膜法) の IR スペクトル

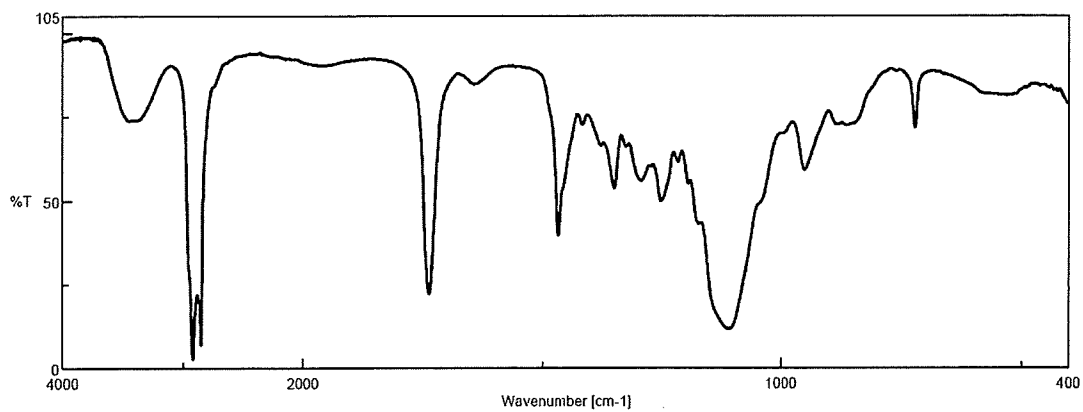


図 15 A 社ポリソルベート-65 (薄膜法) の IR スペクト

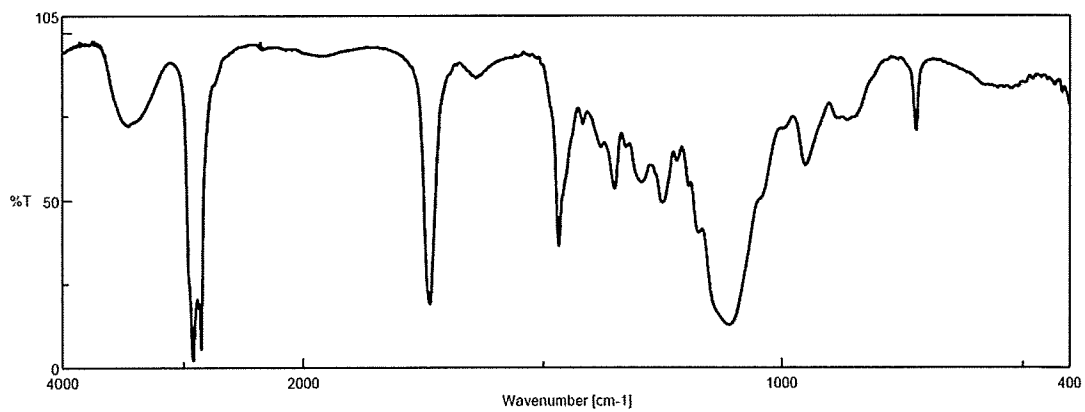


図 16 B 社ポリソルベート-65 (薄膜法) の IR スペクト

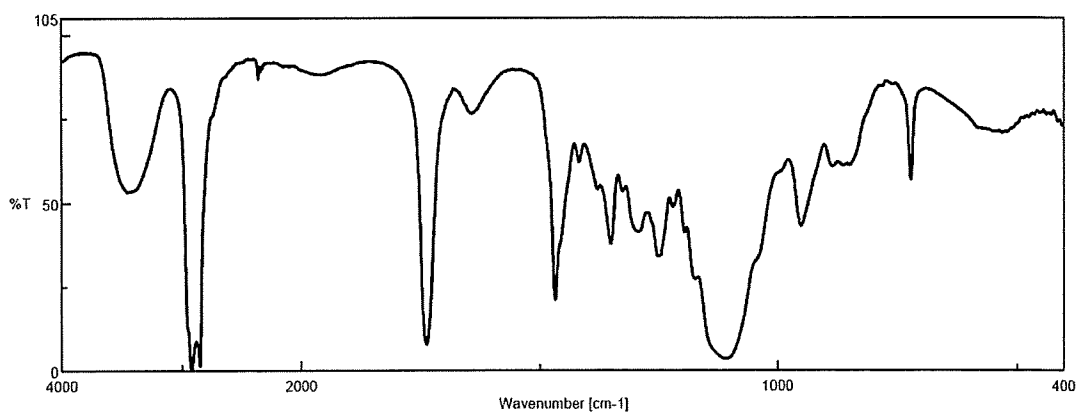


図 17 C 社ポリソルベート-65 (薄膜法) の IR スペクト

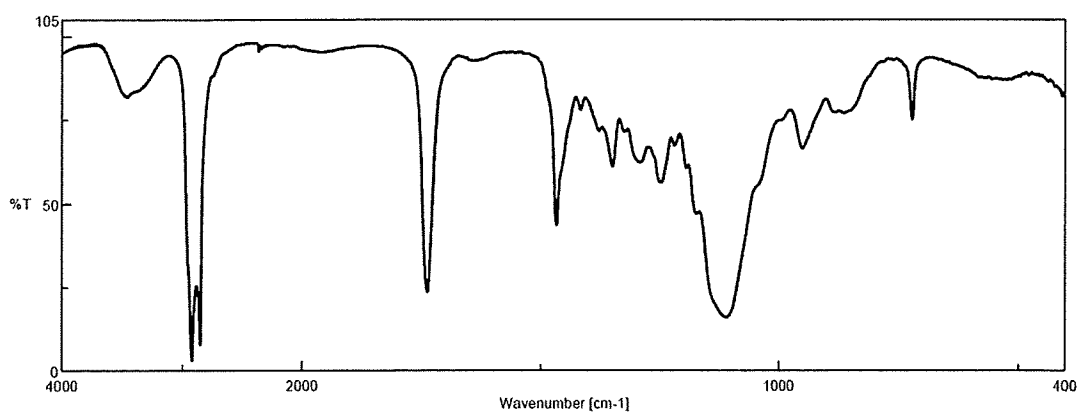


図 18 E社ポリソルベート-65 (薄膜法) の IR スペクト

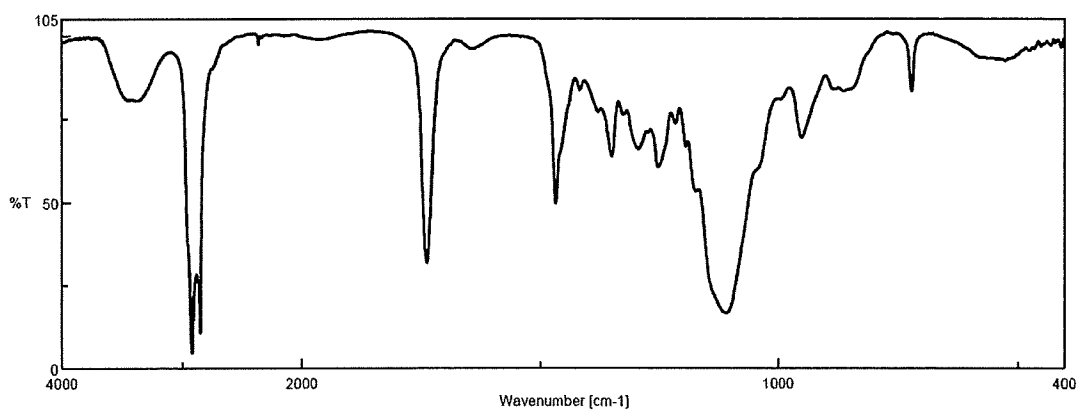


図 19 Wako社ポリソルベート-65 (薄膜法) の IR スペクト

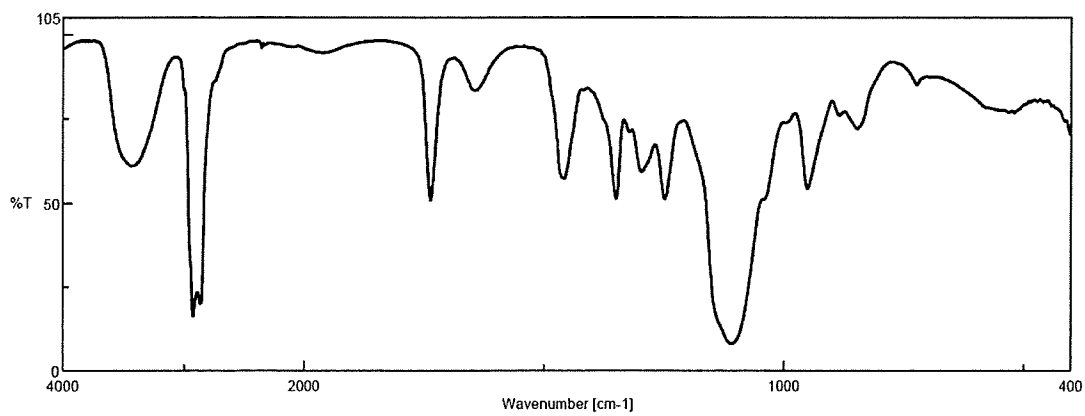


図 20 A社ポリソルベート-80のIRスペクトル

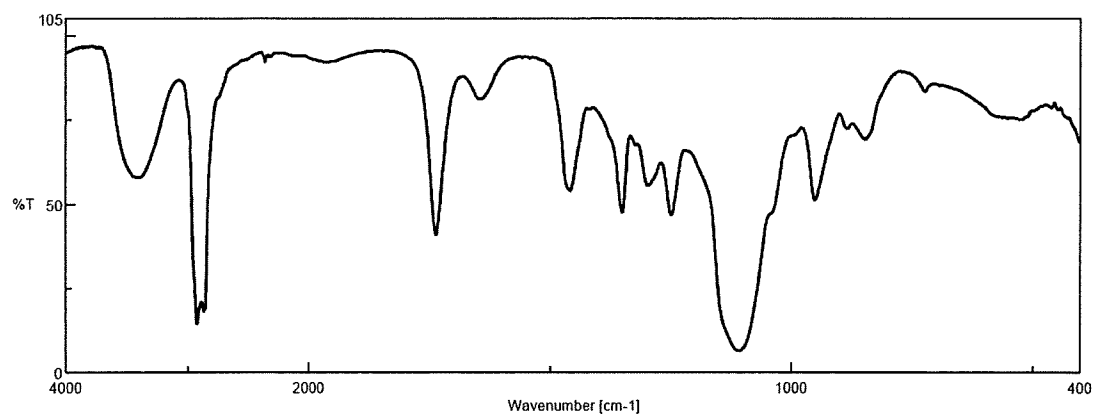


図 21 B社ポリソルベート-80のIRスペクトル

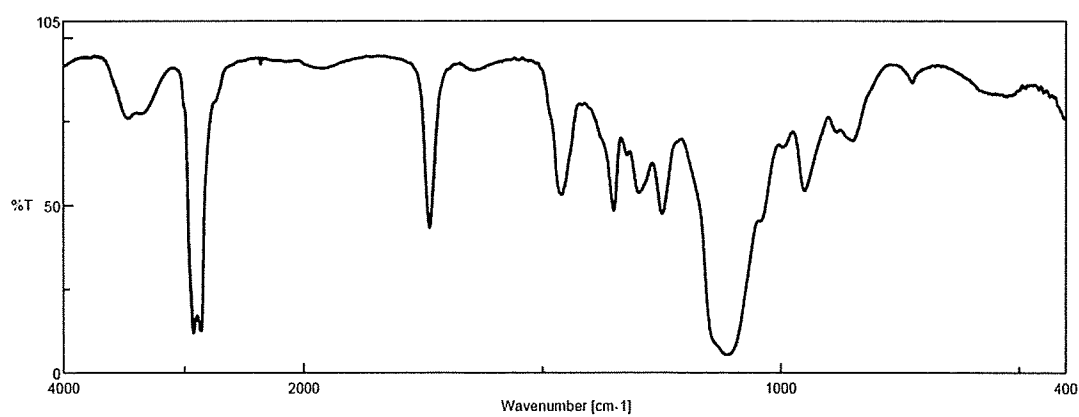


図 22 C社ポリソルベート-80のIRスペクトル

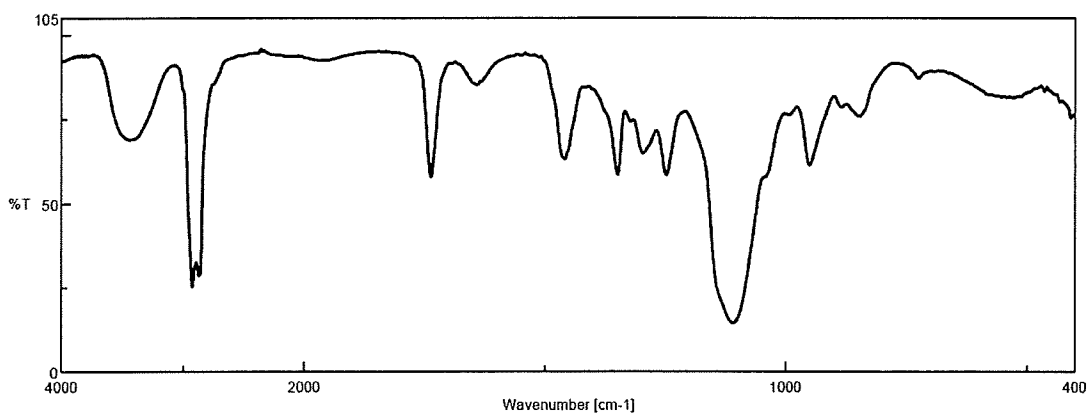


図 23 D 社ポリソルベート・80 の IR スペクトル

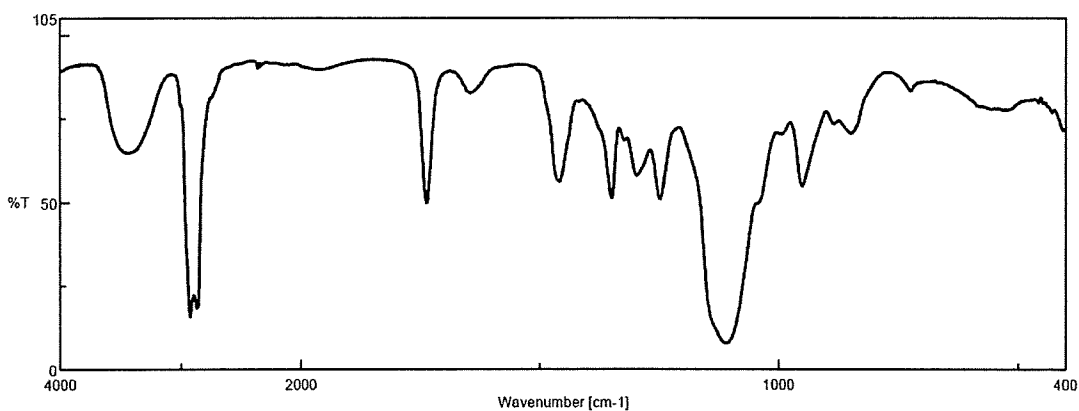


図 24 E 社ポリソルベート・80 の IR スペクトル

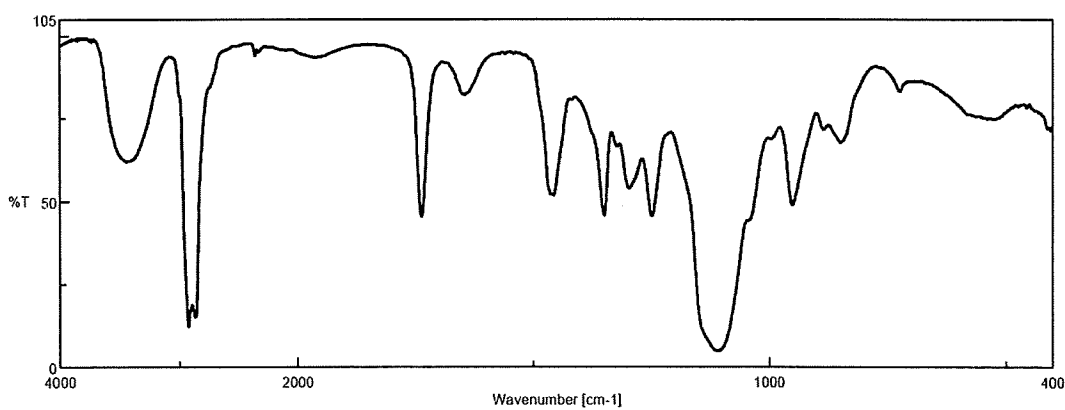


図 25 Wako 社ポリソルベート・80 の IR スペクトル



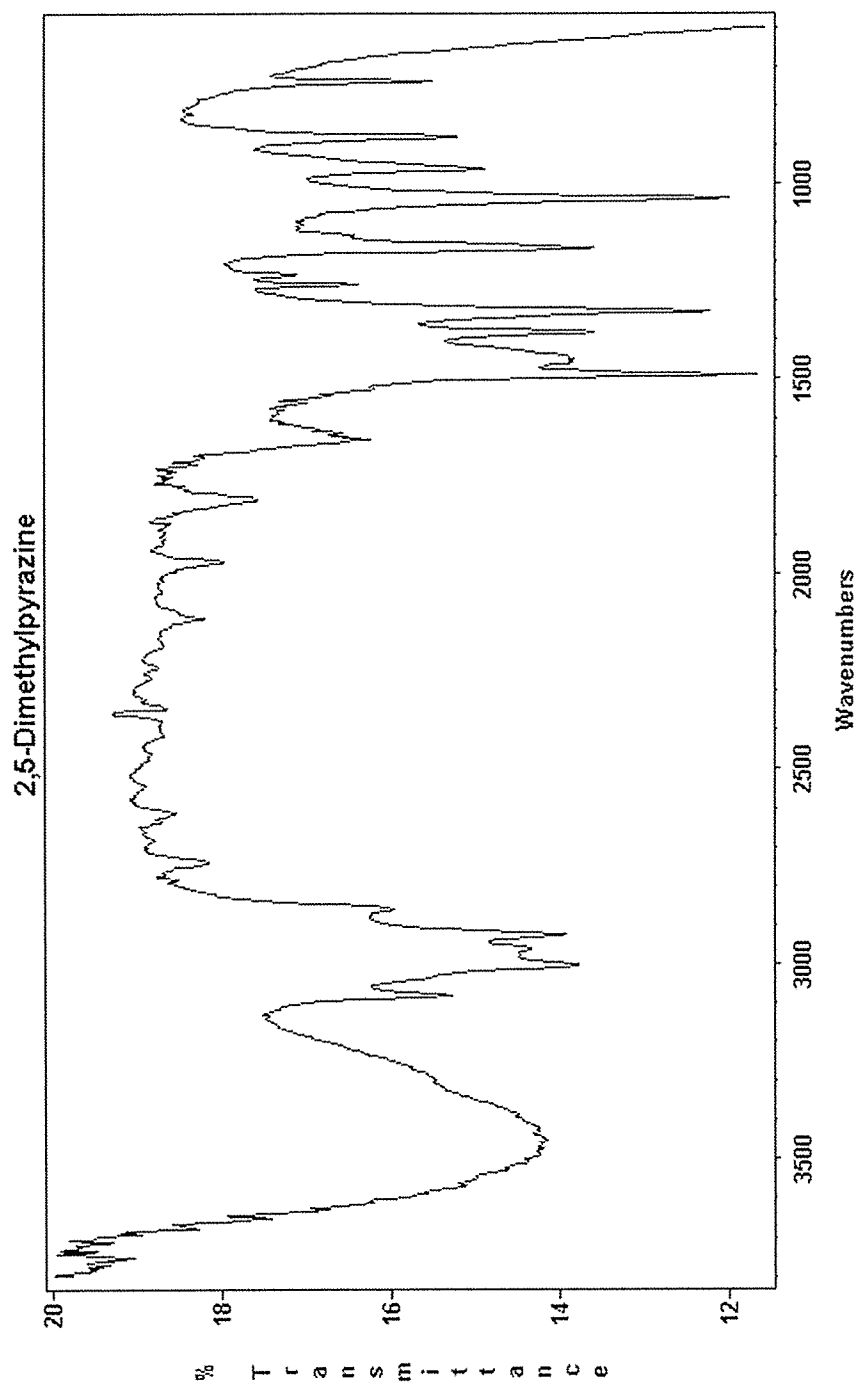
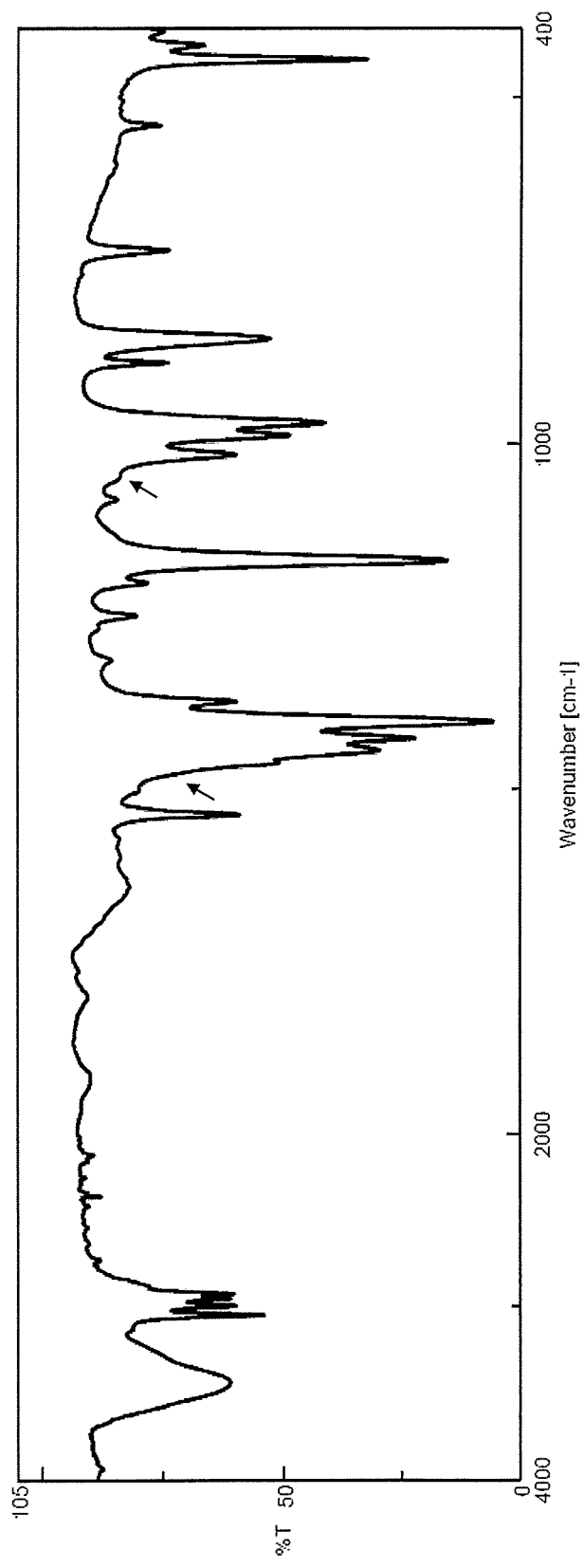


図 26 2,5-ジメチルピラジン (JECFA)



↑ : 2,5-ジメチルピラジン由来と思われるピーク

図 27 2,3-ジメチルピラジン

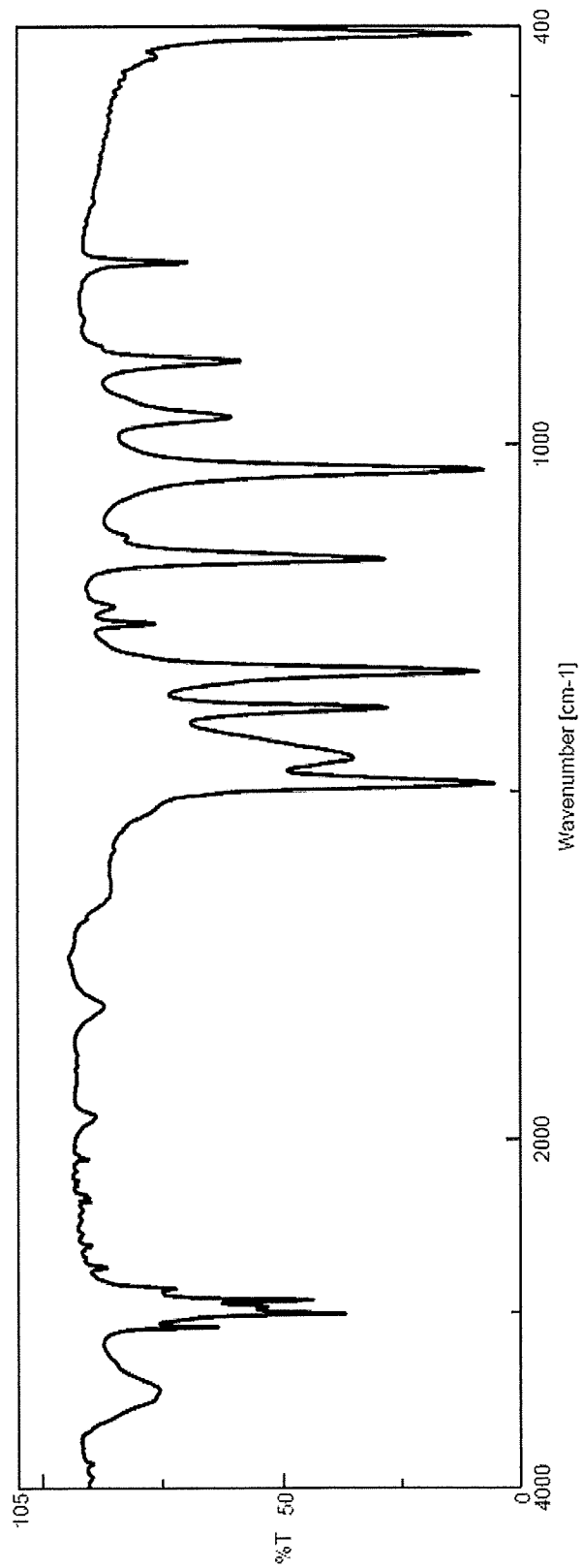
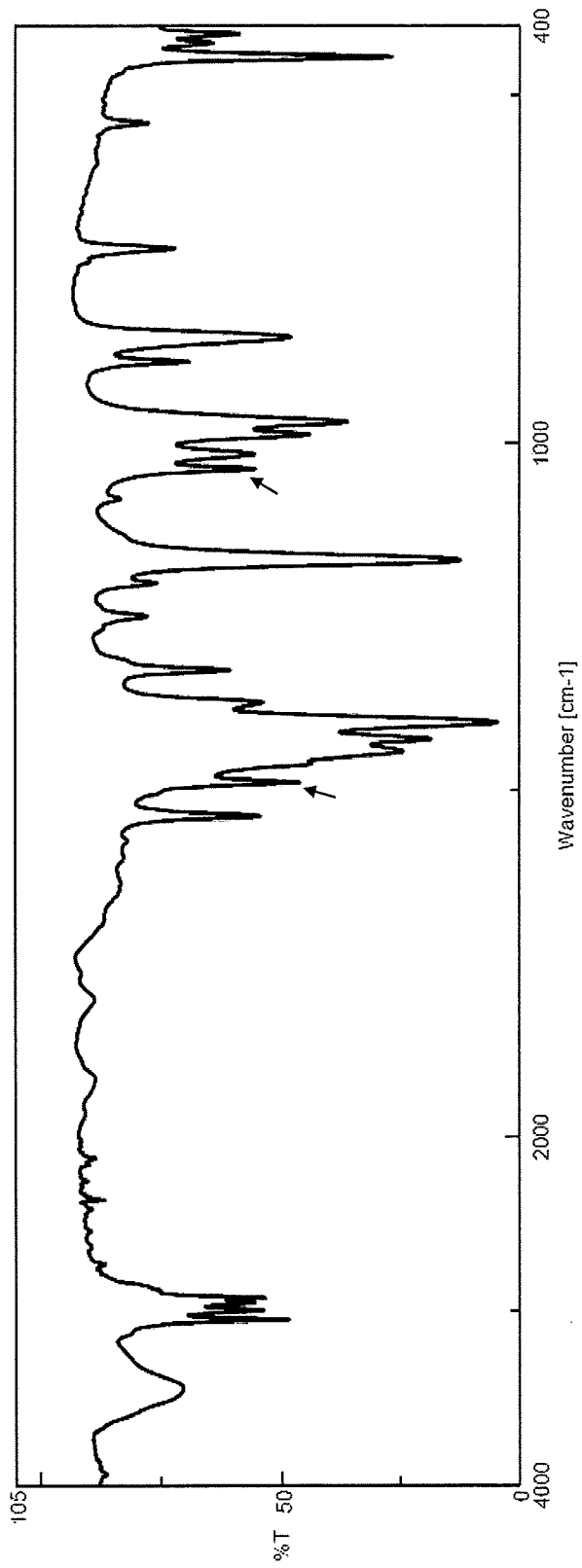
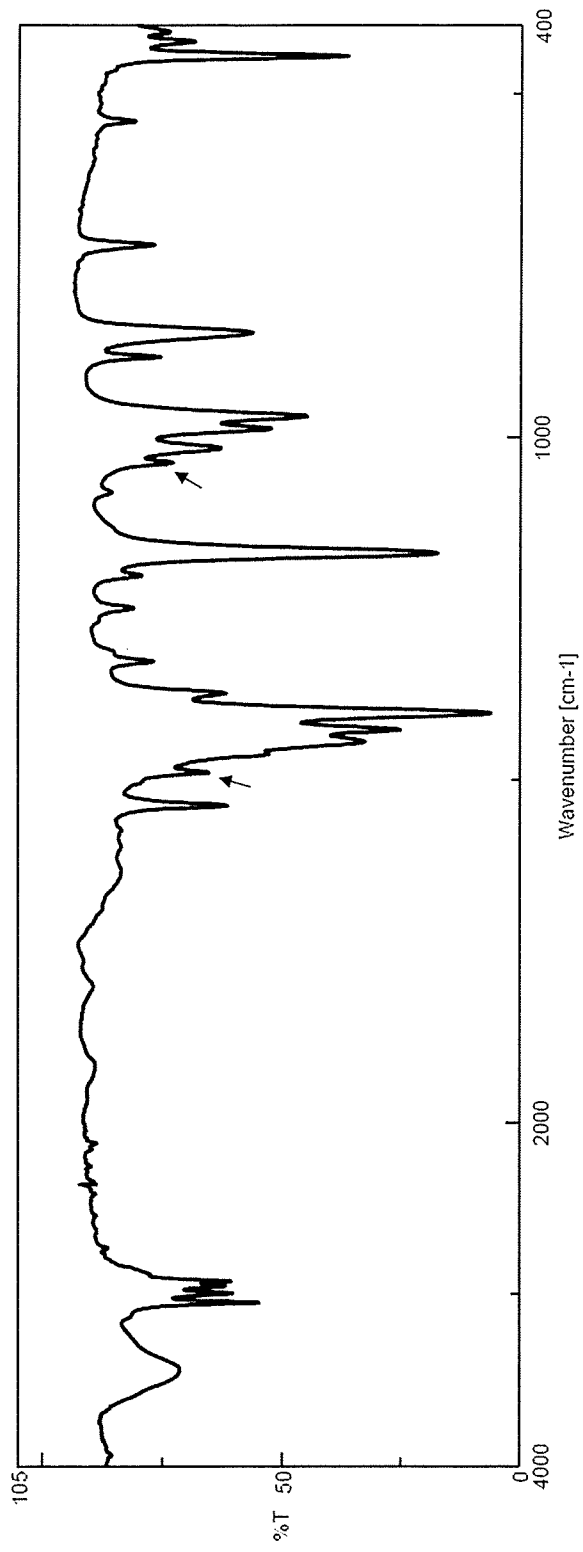


図 28 2,5-ジメチルピラジン



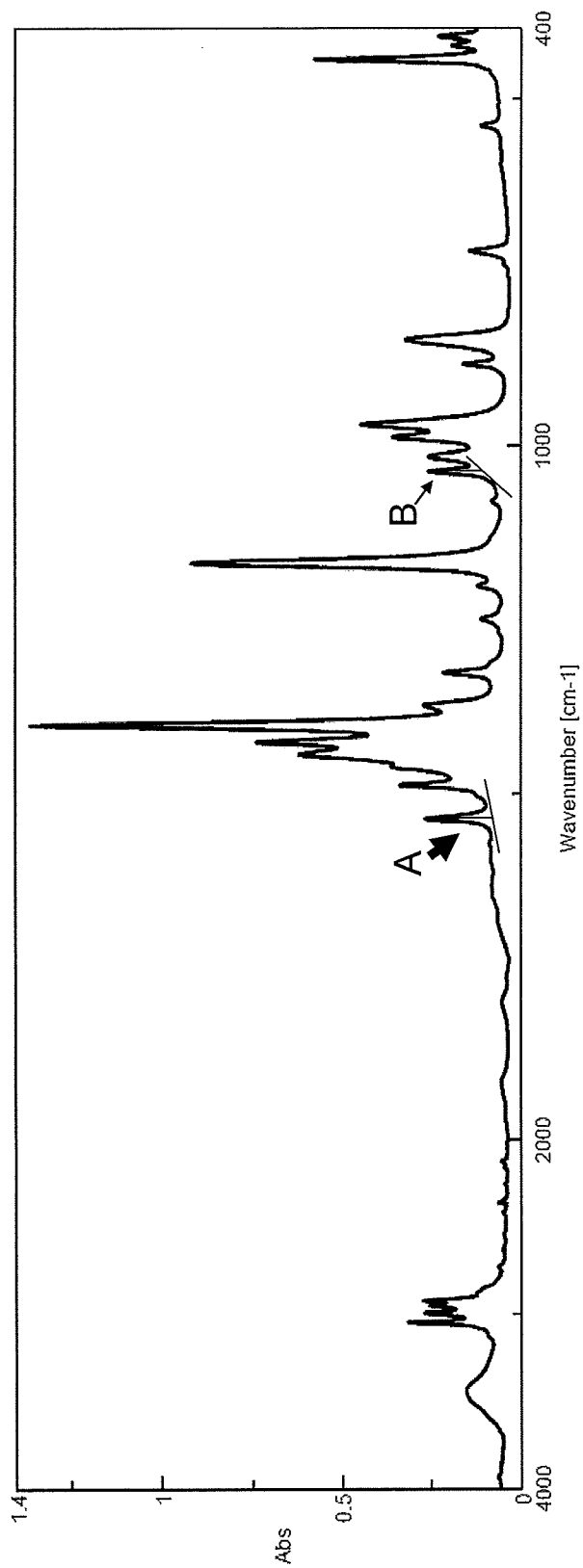
↑ ; 2,5-ジメチルピラジン由来のピーク

図 29 2,3-ジメチルピラジン : 2,5-ジメチルピラジン=90 : 10



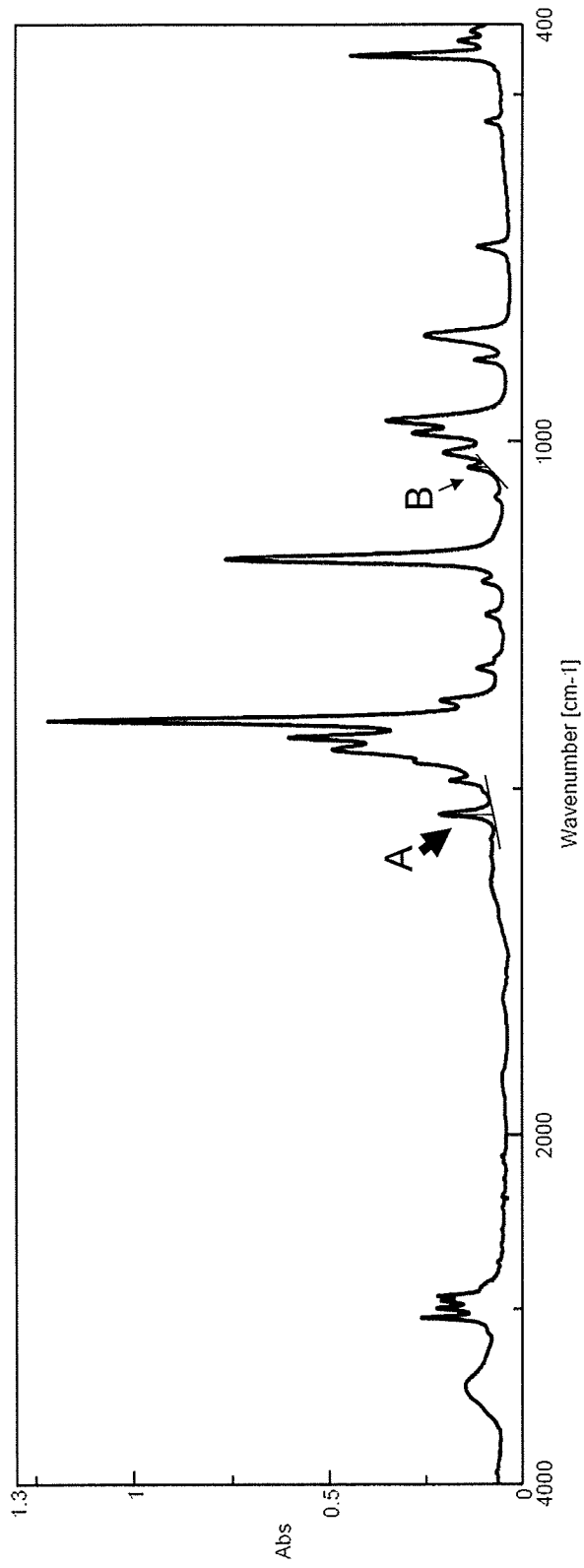
↑: 2,5-ジメチルピラジン由来のピーク

図 30 2,3-ジメチルピラジン : 2,5-ジメチルピラジン=95 : 5



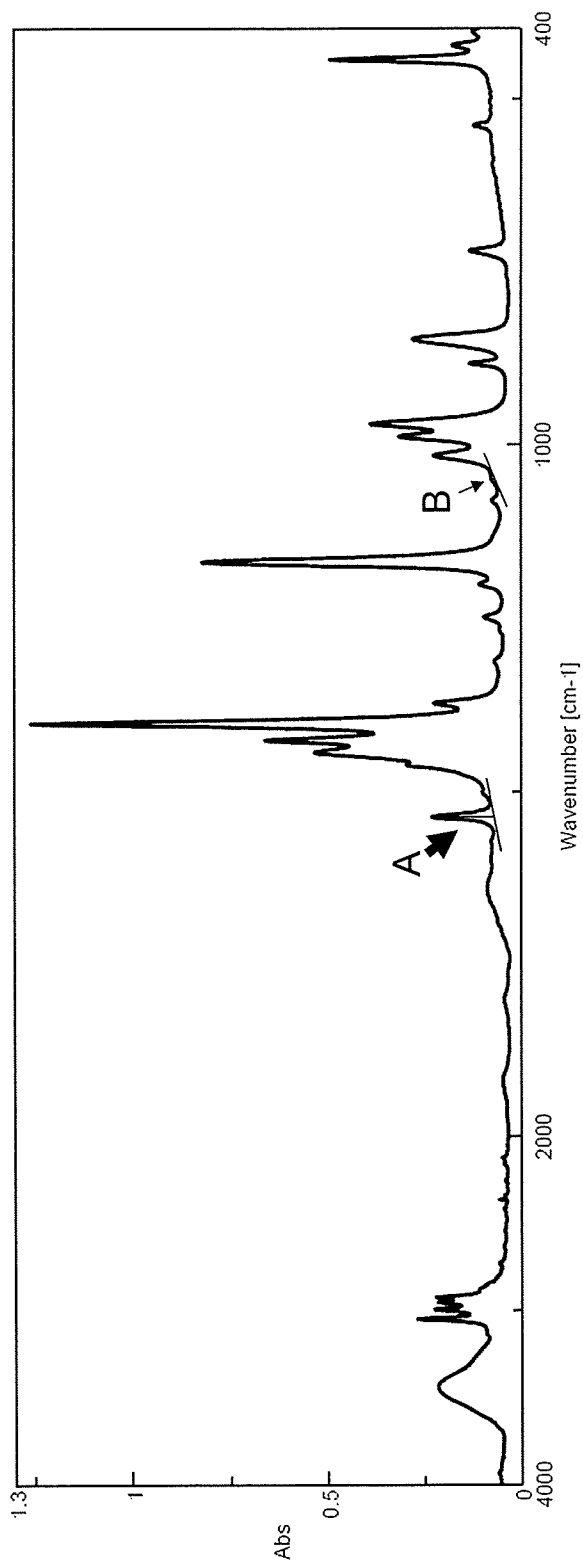
ピーク高さ比  $\frac{B}{A} = 0.9$   
 (ベースライン法)

図 31 2,3-ジメチルピラジジン : 2,5-ジメチルピラジジン = 90 : 10 (縦軸 Abs)



ピーク高さ比  $\frac{B}{A} = 0.35$   
 (ベースライン法)

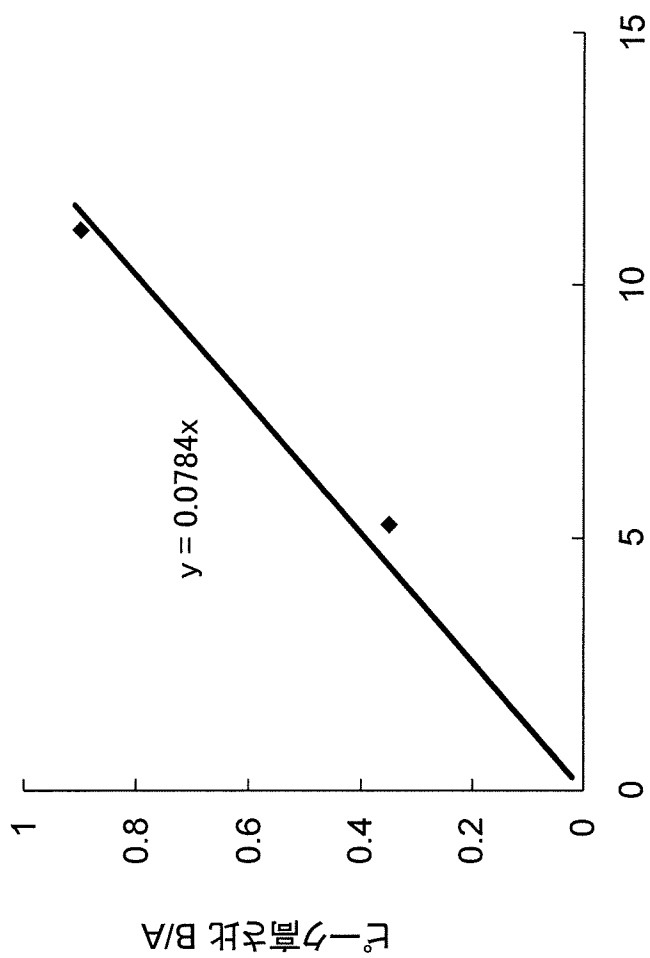
図 32 2,3-ジメチルピラジン : 2,5-ジメチルピラジン = 95 : 5 (縦軸 Abs)



ピーク高さ比  $\frac{B}{A} = 0.05$   
 (ベースライン法)

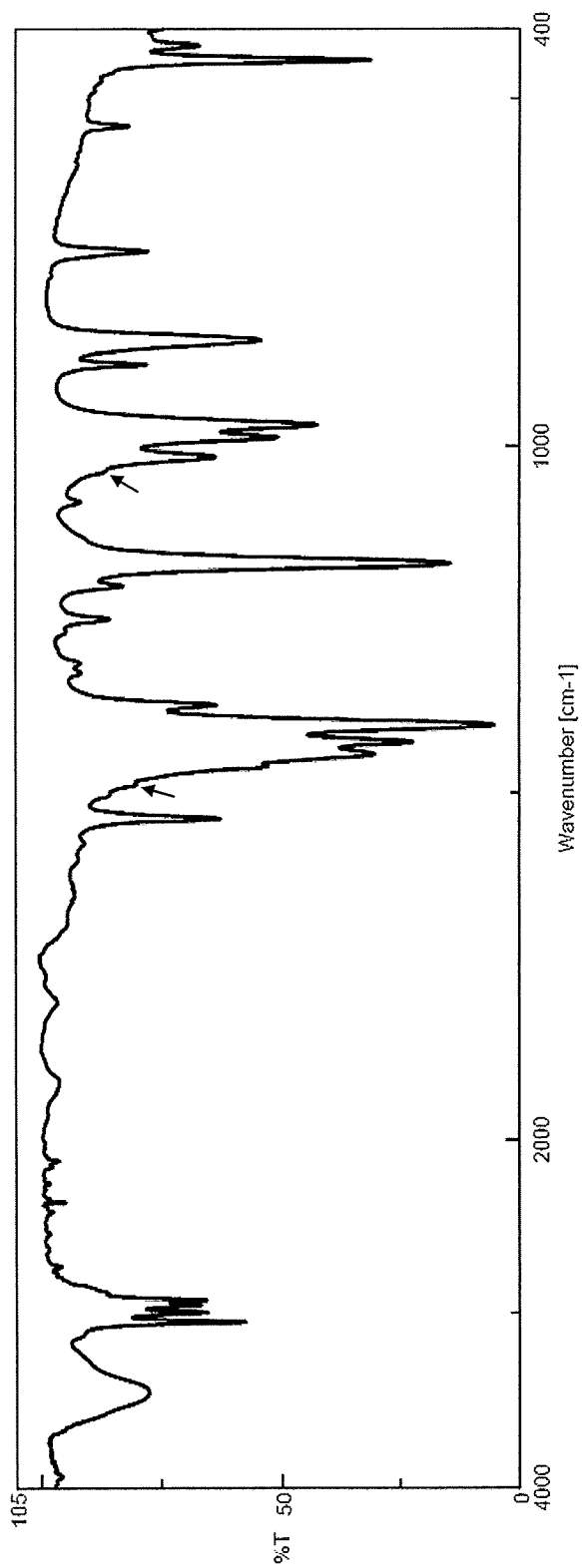
図 33 2,3-ジメチルピラジジン (縦軸 Abs)





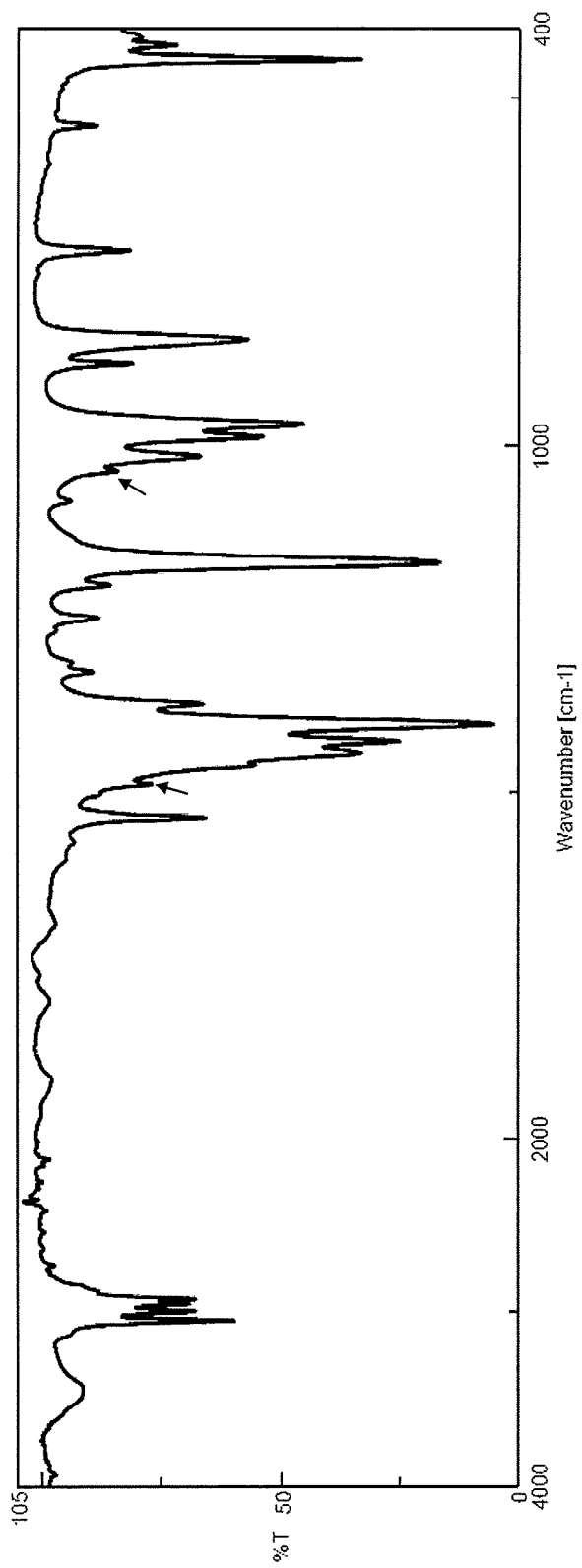
2,3-ジメチルピラジンを100としたときの2,5-ジメチルピラジンの混合比

図 34 検量線



↑ ; 2,5-ジメチルピラジン由来のピーク

図 35 2,3-ジメチルピラジン : 2,5-ジメチルピラジン=99 : 1



↑ ; 2,5-ジメチルピラジン由来のピーク

図 36 2,3-ジメチルピラジン : 2,5-ジメチルピラジン=97 : 3

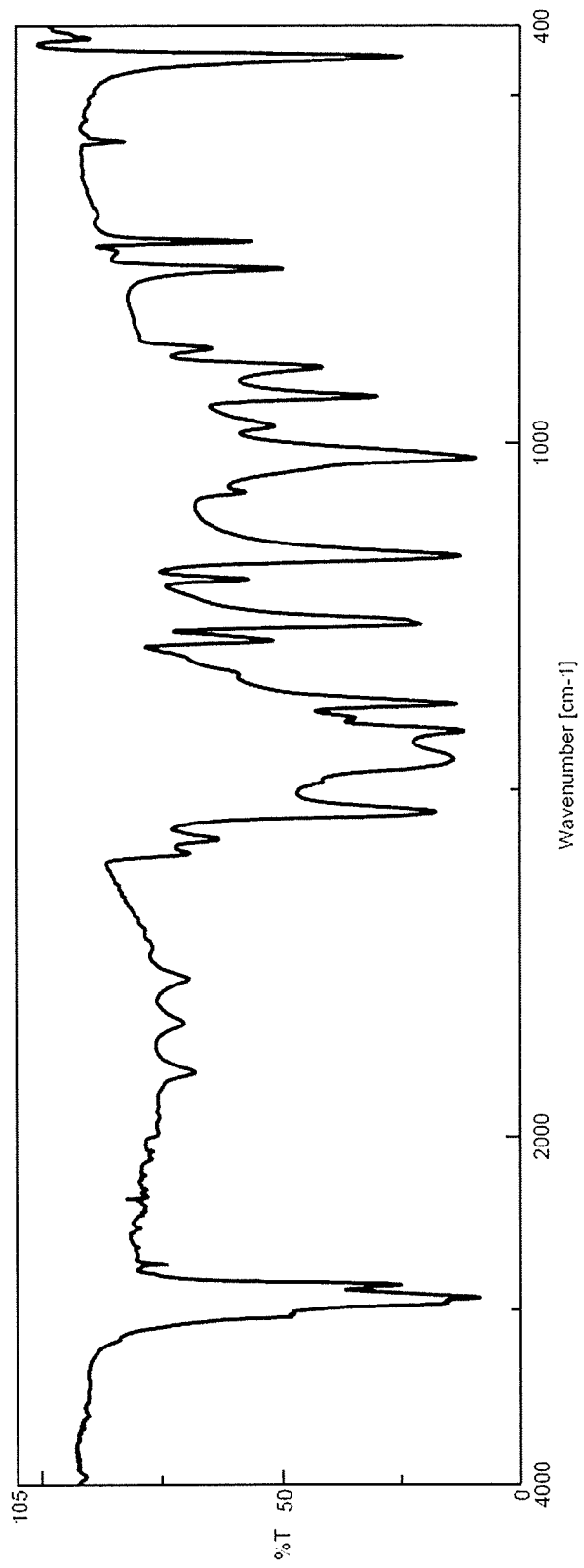


図 37 2,6 ジメチルピラジン (ペースト法で測定)